

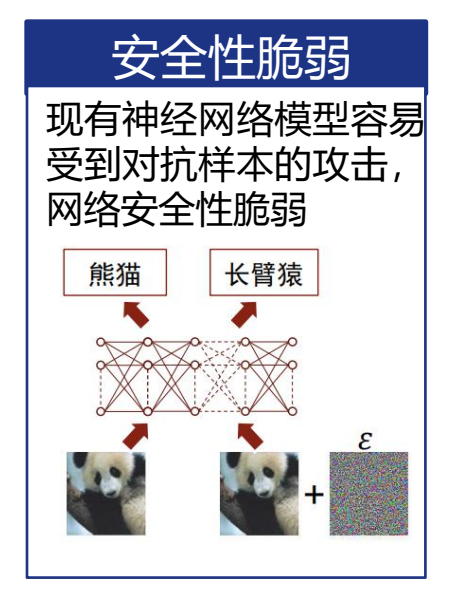
# 基于脉冲神经网络的编码和算法

新加坡国立大学 张马路 2022年1月

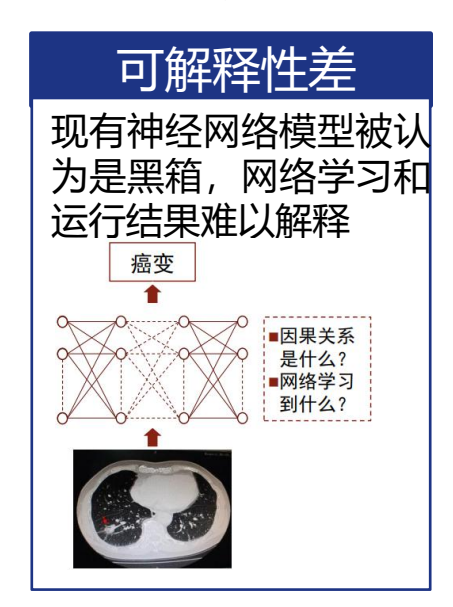
# 01 研究背景和意义

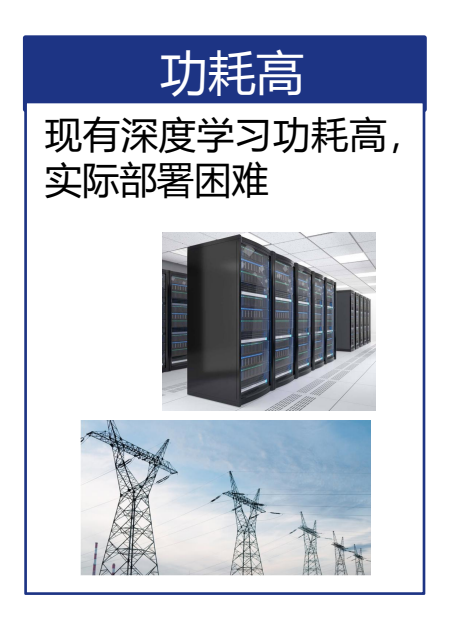
# 背景需求 Background

现有神经网络模型的局限性制约了神经网络的进一步应用

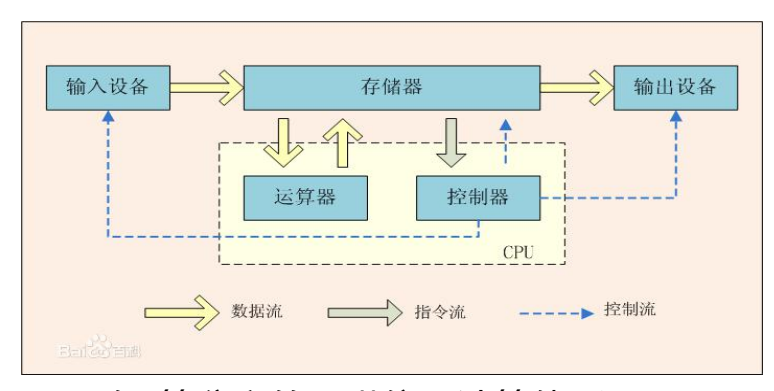




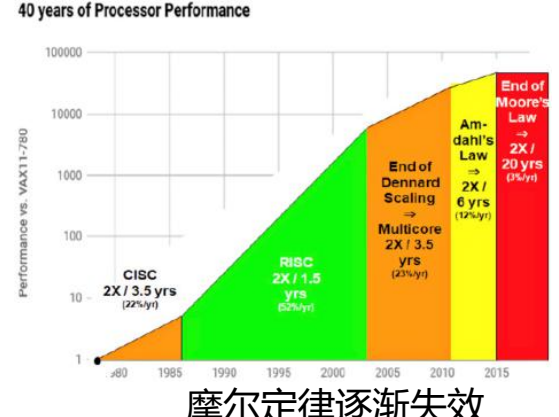




> 现有计算体系瓶颈: 冯诺依曼计算体系效能低下和摩尔定律逐渐失效



存-算分离的冯诺依曼计算体系

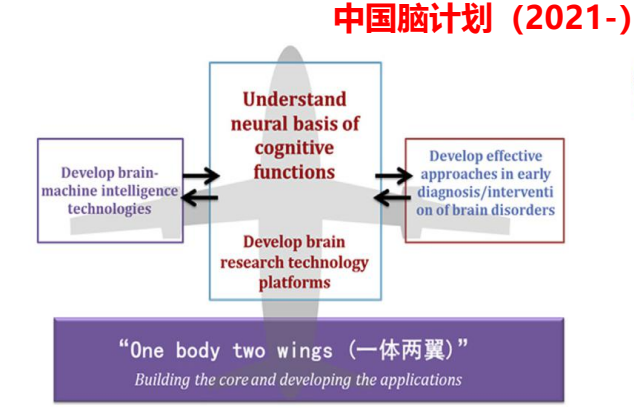


摩尔定律逐渐失效

# 背景需求 Background





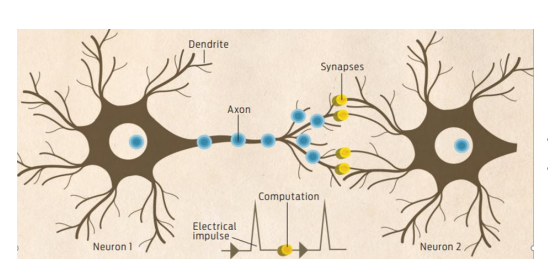




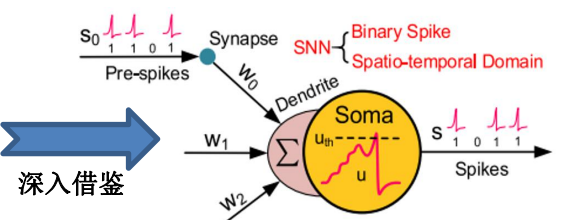
科技创新 2030—"脑科学与类脑研究" 重大项目 2021 年度项目申报指南

中国脑计划,首批拨款31.48亿 未来五年拨款190亿。

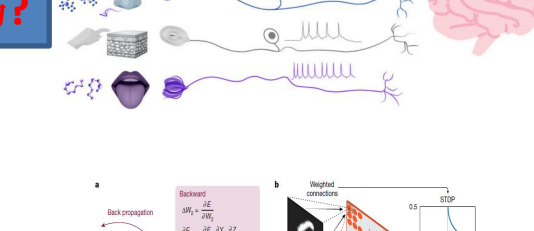
> 类脑计算包含芯片和软件算法,其中脉冲神经网络(Spiking Neural Networks, SNNs) 是软件算法的核心。



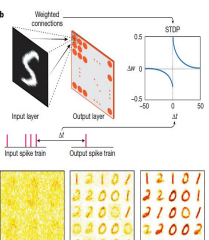
生物神经元



脉冲神经元

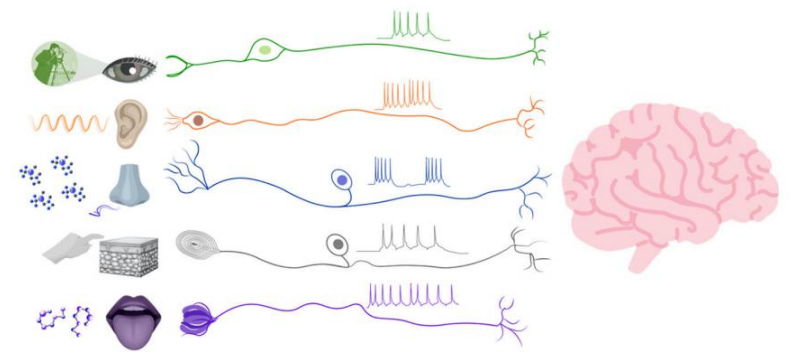




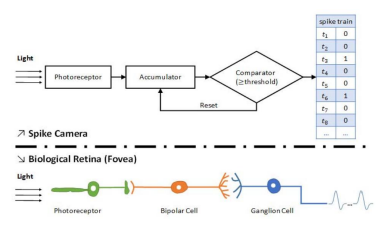


# 类脑脉冲时空编码

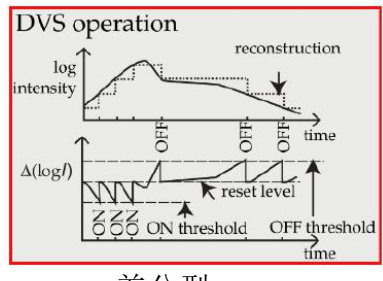
在现实生活环境中,大脑通过多种感觉器官(眼睛、耳朵、皮肤等)接收复杂且快速时变的多模态信息。如何对这些异质的多模态信息进行有效的脉冲时空编码,对后续脉冲神经网络模型的学习、推理和认知具有重大影响。



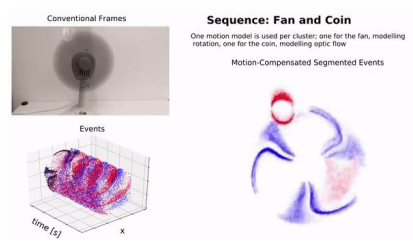
#### ▶ 视觉



积分型



差分型



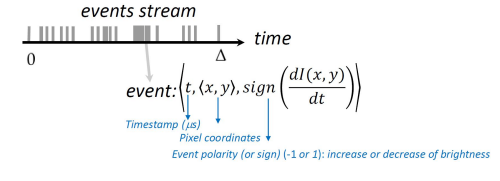
高时域分辨率



高动态范围



低功耗



异步输出

# 编码1: 基于语音识别任务的类脑脉冲时空编码

**》 基于语音识别任务的类脑脉冲时空编码方案。** 

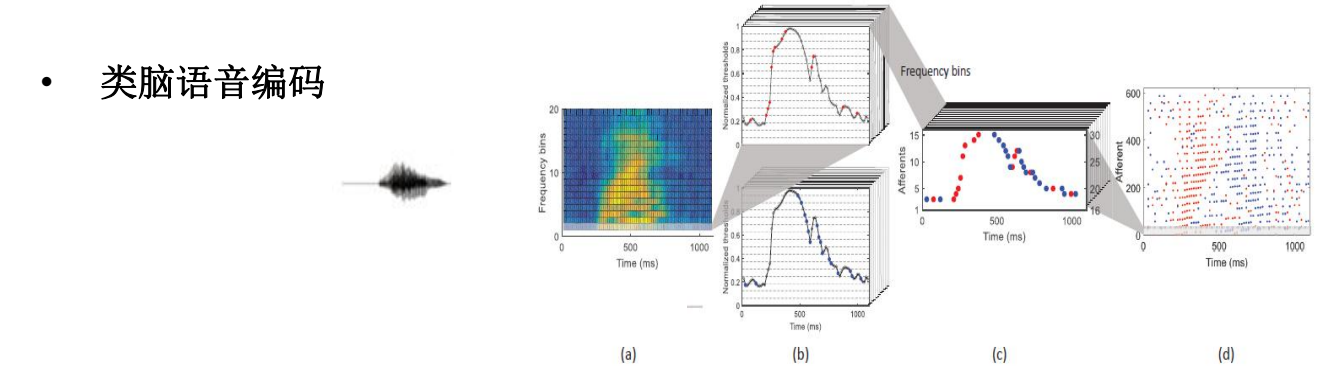
• 大脑听觉前端

Cod window base.

Cod window base.

Schematic of wegarded cocites

Schematic of we



基于识别任务的脉冲时空编码方案

# 编码1: 基于语音识别任务的类脑脉冲时空编码

#### 基于语音识别任务的类脑脉冲时空编码方案。

#### 在语音数据集TIDIGITS上的测试结果

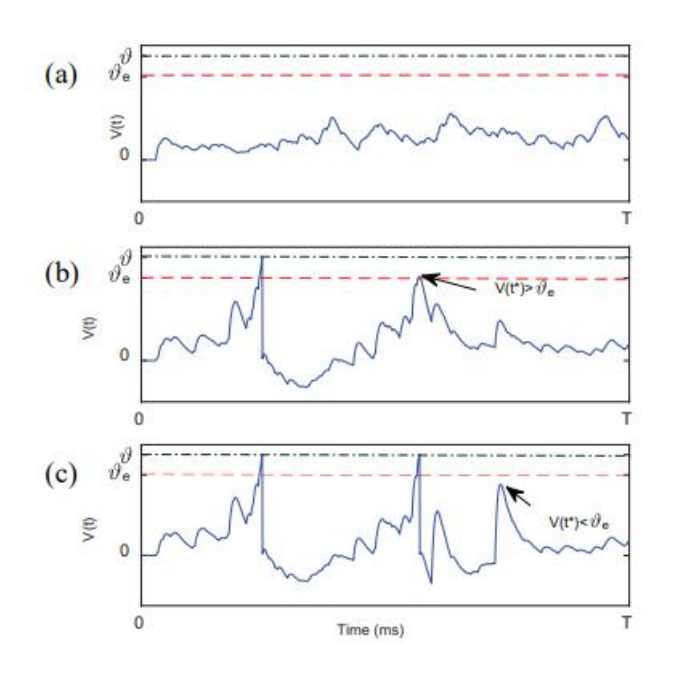


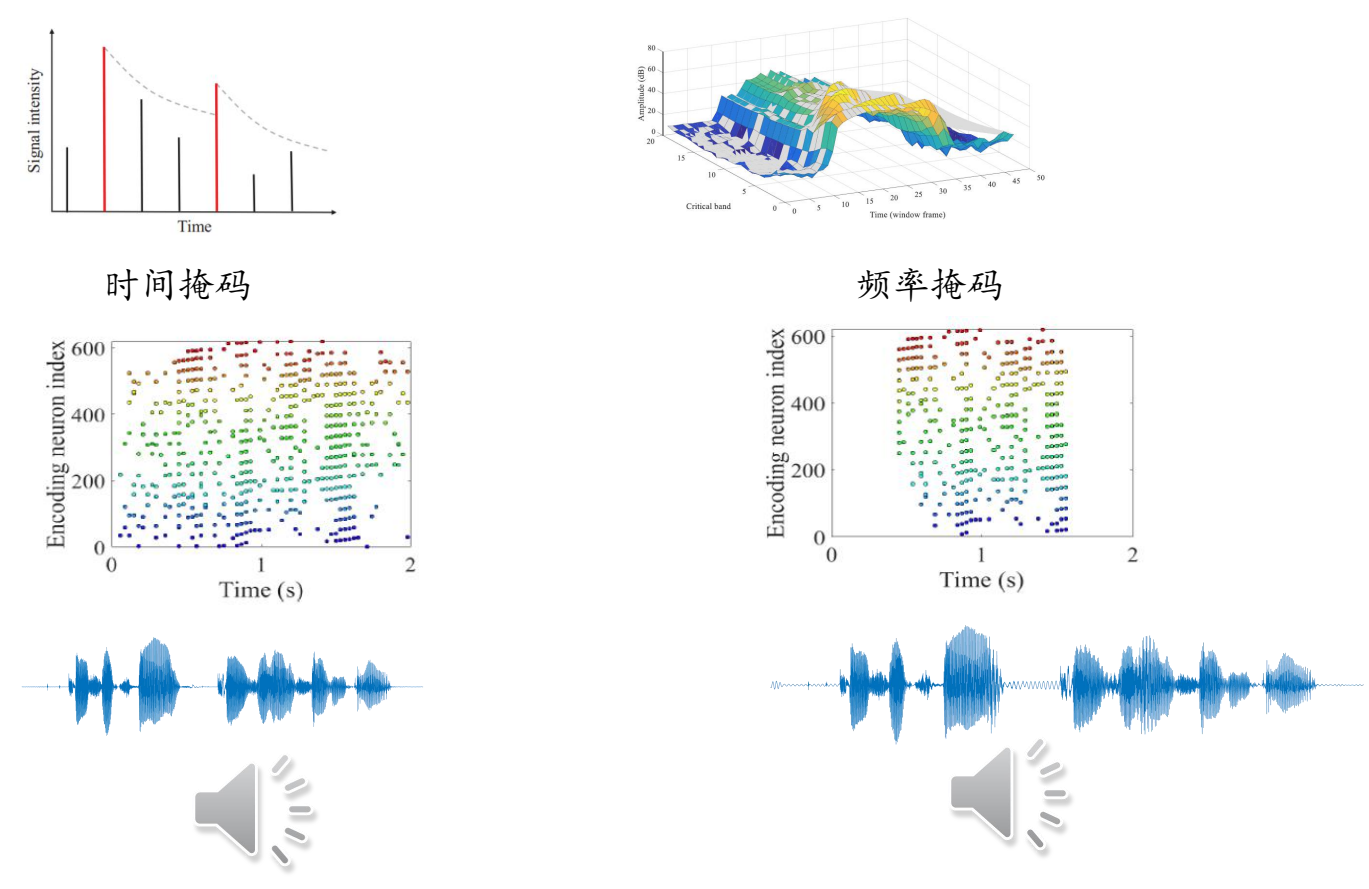
Table 1: Comparison of the proposed framework against other baseline frameworks.

| Model   | Accuracy |
|---|----------|
| Single-layer SNN and SVM (Tavanaei and Maida 2017b)   | 91.00%   |
| Spiking CNN and HMM (Tavanaei and Maida 2017a)        | 96.00%   |
| AER Silicon Cochlea and SVM (Abdollahi and Liu 2011)  | 95.58%   |
| Auditory Spectrogram and SVM (Abdollahi and Liu 2011) | 78.73%   |
| AER Silicon Cochlea and Deep RNN (Neil and Liu 2016)  | 96.10%   |
| Liquid State Machine (Zhang et al. 2015)              | 92.30%   |
| MPD-AL with $N_d = 3$                                 | 95.35%   |
| MPD-AL with Dynamic Decoding                          | 97.52%   |

# 编码1: 基于语音识别任务的类脑脉冲时空编码

#### **〉 基于语音识别任务的类脑脉冲时空编码方案。**

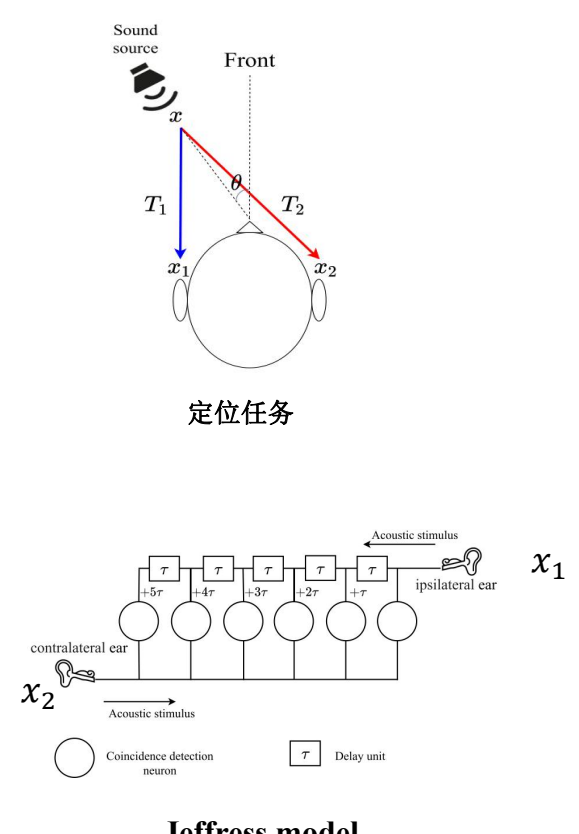
• 听觉掩码机制



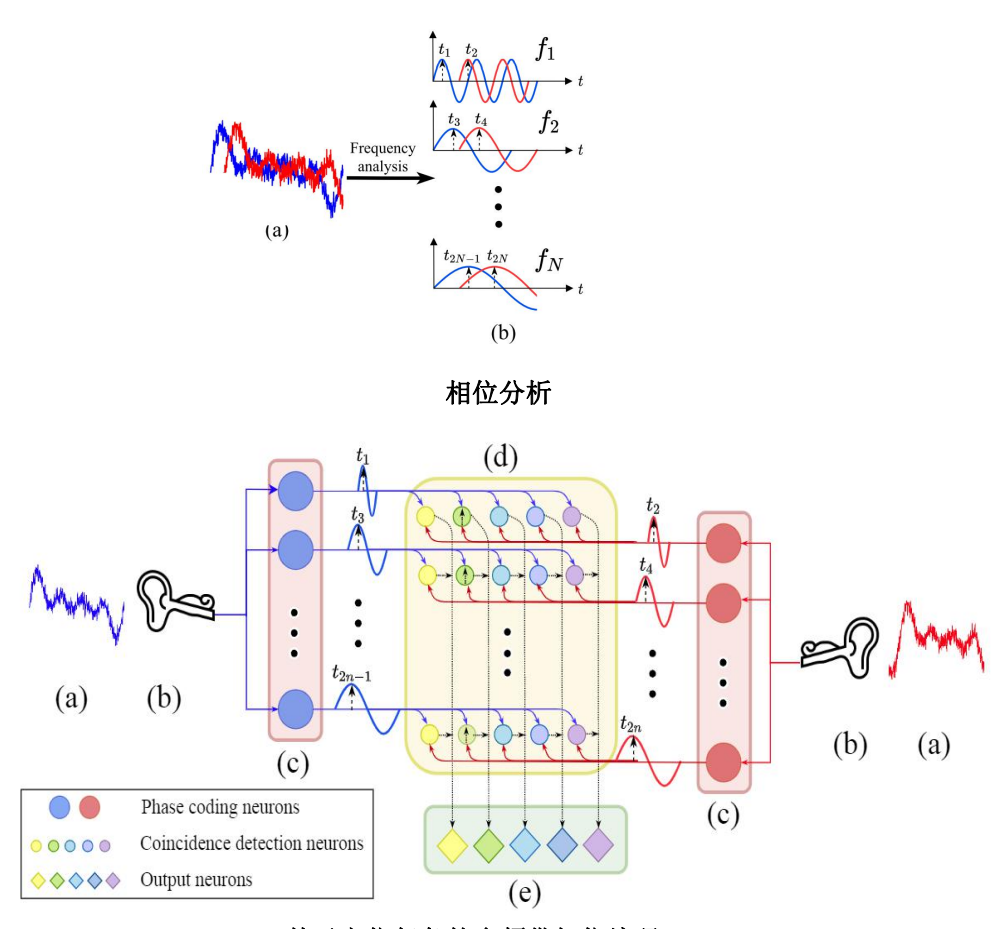
[2] "An efficient and perceptually motivated auditory neural encoding and decoding algorithm for spiking neural networks." Frontiers in neuroscience 13 (2020): 1420.

# 编码2: 基于声源定位任务的类脑脉冲时空编码

#### 基于声源定位任务的类脑脉冲时空编码方案。



Jeffress model



基于定位任务的多频带相位编码

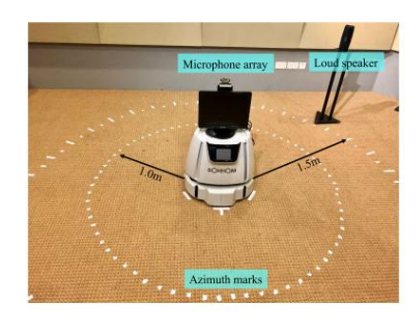
Multi-Tone Phase Coding of Interaural Time Difference for Sound Source Localization With Spiking Neural Networks. IEEE/ACM Transactions on Audio, Speech, and Language Processing, 29, 2656-2670.

# 编码2: 基于声源定位任务的类脑脉冲时空编码

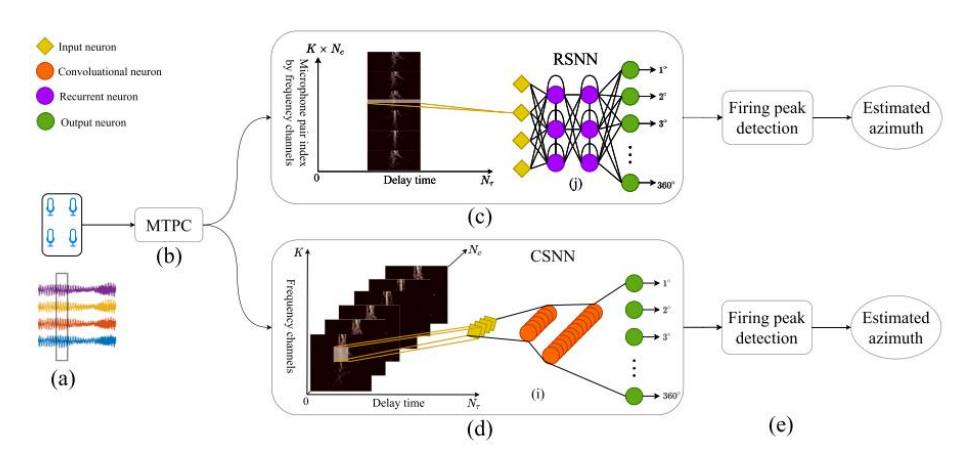
#### 基于声源定位任务的类脑脉冲时空编码方案。

• 实验环境





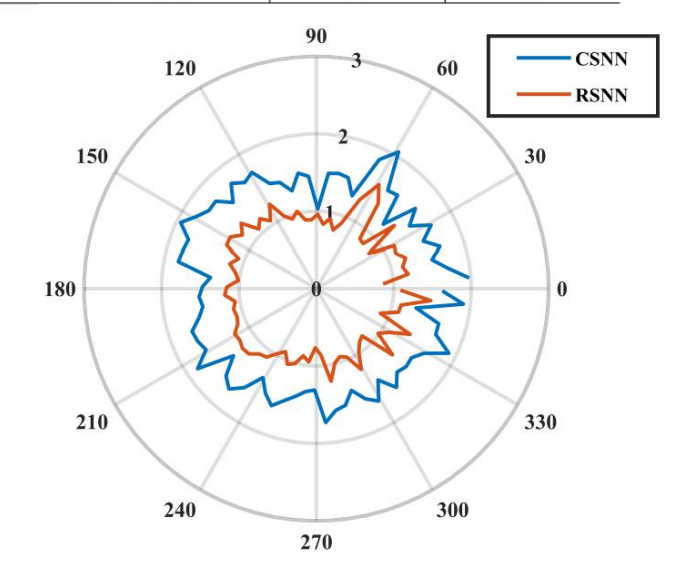
#### • 计算模型



#### 实验结果

TABLE VII
A COMPARISON OF MAE BETWEEN MTPC-SNN AND OTHER COMPETITIVE
SOUND SOURCE LOCALIZATION TECHNIQUES

| Computational model | MAE (1.5m) | MAE (1.0m) |  |
|---------------------|------------|------------|--|
| MTPC-CSNN [55]      | 1.61       | 4.84       |  |
| MTPC-RSNN [44]      | 1.02       | 4.09       |  |
| MTPC-CNN [56]       | 1.20       | 4.06       |  |
| MTPC-LSTM [57]      | 0.41       | 3.89       |  |
| GCC-Phat + CNN [52] | 1.57       | 4.38       |  |
| MUSIC [54]          | 2.35       | 3.79       |  |



# 编码2: 基于声源定

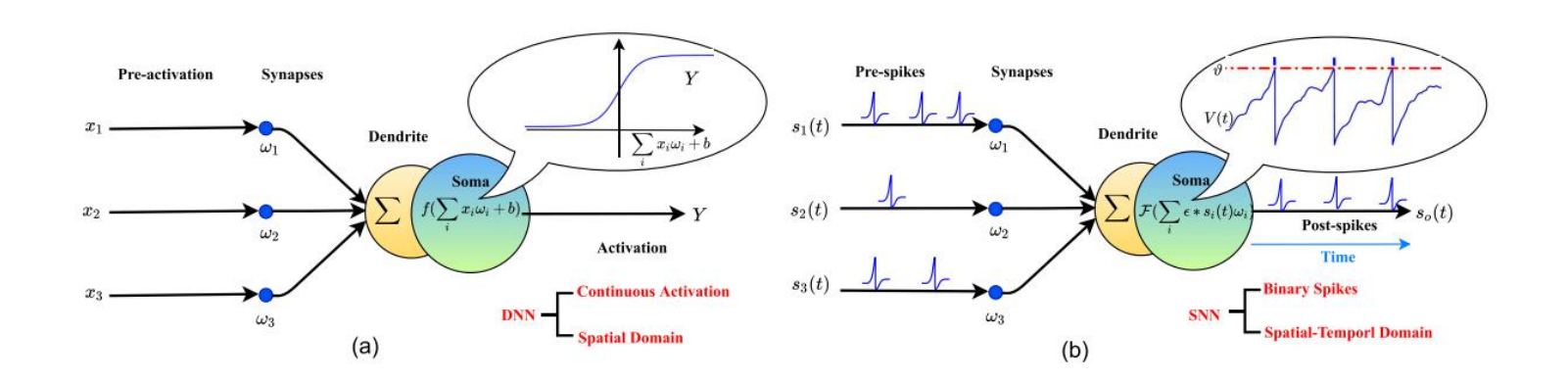
> 基于声源定位任务的类





# 基于脉冲神经网络的算法

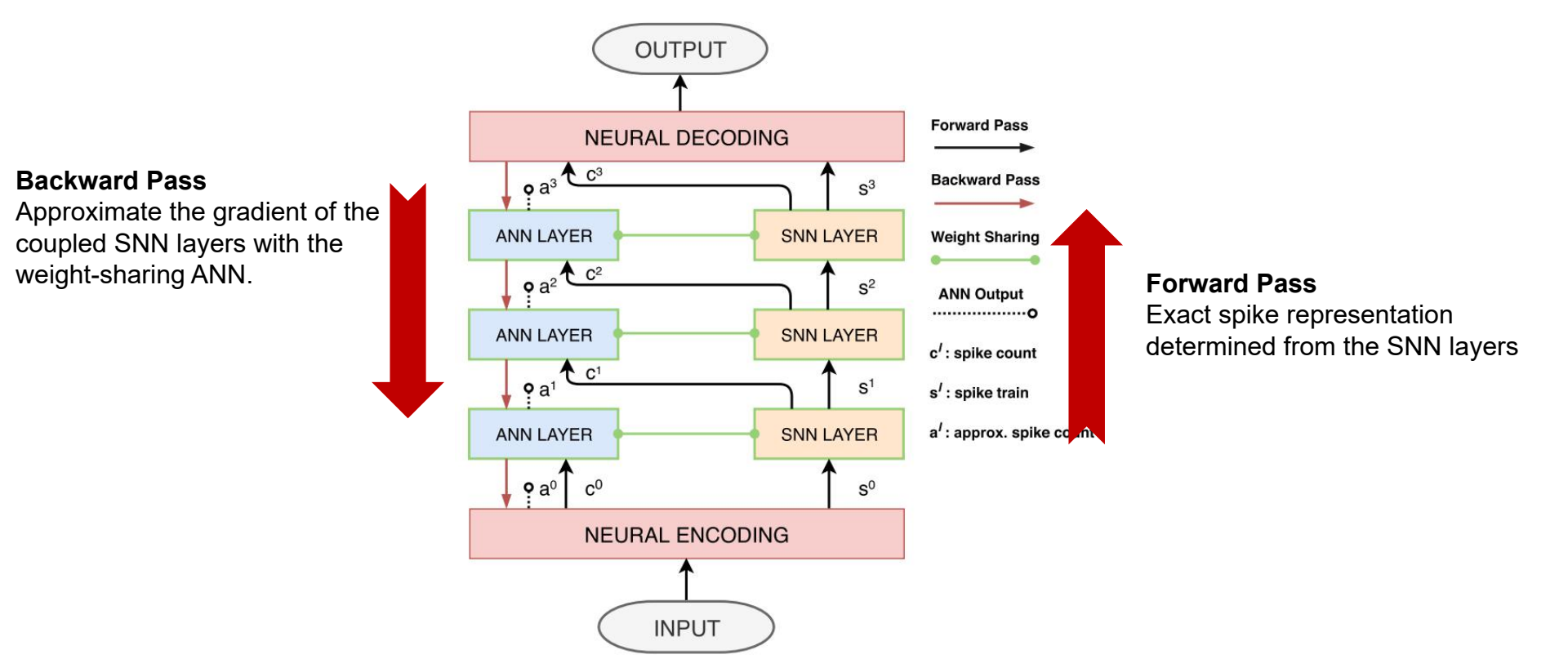
脉冲神经网络具有复杂的时序依赖关系且脉冲激发函数不可导,因此如何高效训练脉冲神经网络一直是一个研究热点。





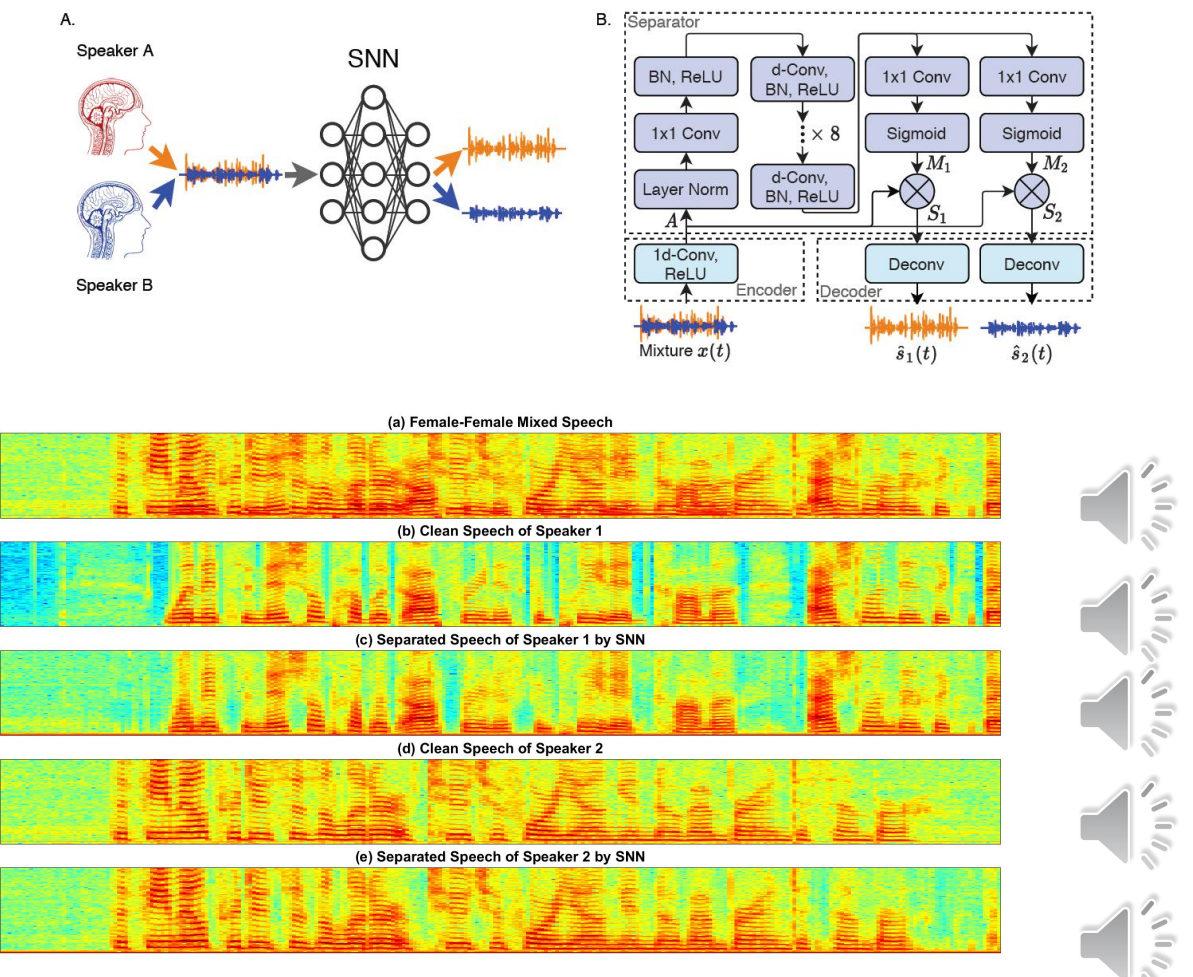
# 算法1:基于深度脉冲神经网络的学习算法-Tandem Learning

#### ▶ 异构融合的学习策略-Tandem Learning



# 算法1:基于深度脉冲神经网络的学习算法-Tandem Learning

#### > 实验结果。



<sup>&</sup>quot;Progressive tandem learning for pattern recognition with deep spiking neural networks." IEEE Transactions on Pattern Analysis and Machine Intelligence (2021).

# 算法2: 基于脉冲时间信息的误差反传算法 STDBP

· 基于脉冲时间信息的误差反传算法 STDBP (Spike-Timing-Dependent BP) 问题分析:

以脉冲驱动的方式进行权重更新,具有更高的学习效率;适用于时间编码,能充分利用脉冲神经网络的时间信息。

• 脉冲发放函数不可微分

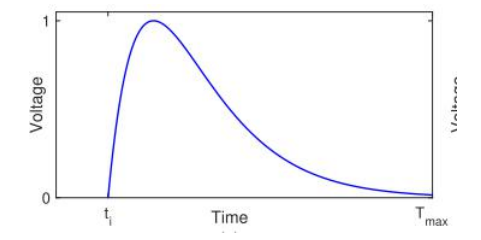
$$t_j^l = \mathcal{F}\left\{t | V_j^l(t) = \vartheta, t \ge 0\right\}$$

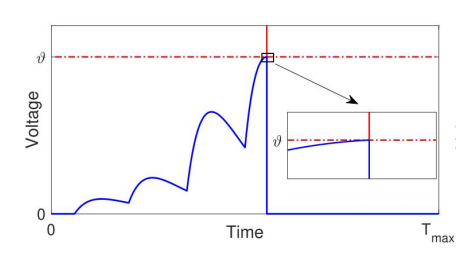


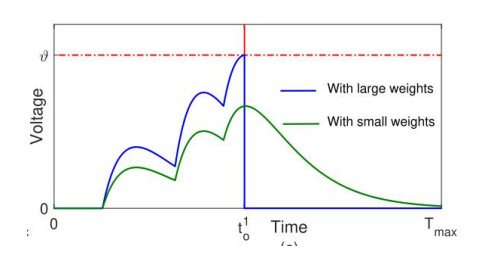
• 梯度爆炸

$$\frac{\partial t_j^l}{\partial V_j^l(t_j^l)} = \frac{-1}{\partial V_j^l(t_j^l)/\partial t_j^l}$$

• '静默'神经元







### 算法2:基于脉冲驱动的误差反传算法 STDBP

· 基于脉冲时间信息的误差反传算法 STDBP (Spike-Timing-Dependent BP) 问题分析:

以脉冲驱动的方式进行权重更新,具有更高的学习效率;适用于时间编码,能充分利用脉冲神经网络的时间信息。

• 脉冲发放函数不可微分

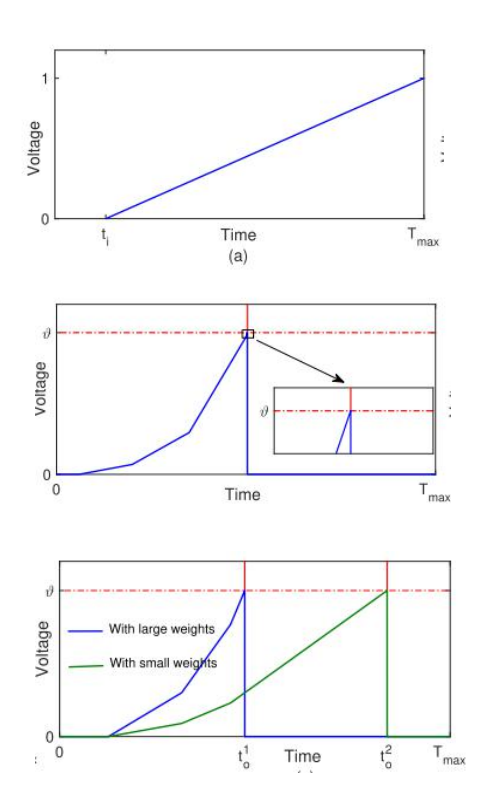
$$t_j^l = \mathcal{F}\left\{t | V_j^l(t) = \vartheta, t \ge 0\right\}$$



• 梯度爆炸

$$\frac{\partial t_j^l}{\partial V_j^l(t_j^l)} = \frac{-1}{\partial V_j^l(t_j^l)/\partial t_j^l}$$

• '静默'神经元



### 算法2: 基于脉冲时间信息的误差反传算法 STDBP

#### ➤ 基于脉冲时间信息的误差反传算法 STDBP (Spike-Timing-Dependent BP)

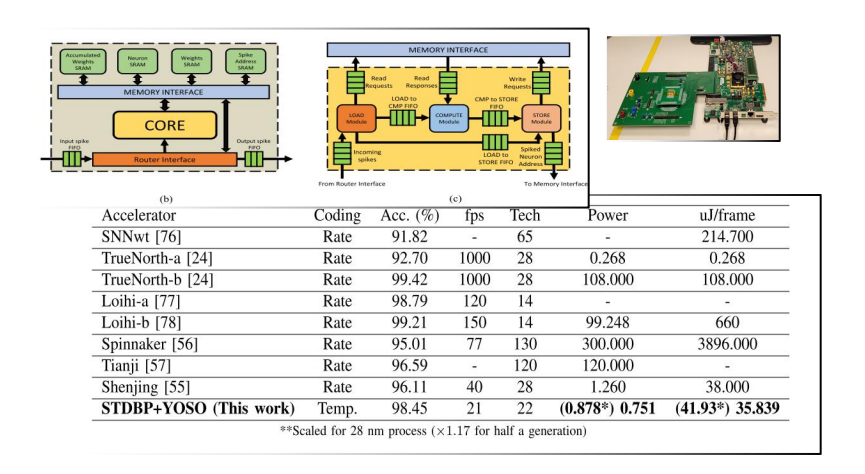
实验结果

TABLE I

CLASSIFICATION ACCURACIES OF EXISTING SPIKE-DRIVEN LEARNING ALGORITHMS ON THE MNIST DATASET. WE USE THE FOLLOWING NOTATION TO INDICATE THE SNN ARCHITECTURE. LAYERS ARE SEPARATED BY—AND SPATIAL DIMENSIONS ARE SEPARATED BY X.

THE CONVOLUTION LAYER AND POOLING LAYER ARE REPRESENTED BY C AND P. RESPECTIVELY

| Model                   | Coding   | Network Architecture                 | Additional Strategy            | Acc. (%) |
|-------------------------|----------|--------------------------------------|--------------------------------|----------|
| Mostafa [36]            | Temporal | 784-800-10                           | Weight and Gradient Constraint | 97.5     |
| Tavanaei et al [67]     | Rate     | 784-1000-10                          | None                           | 96.6     |
| Comsa et al [49]        | Temporal | 784-340-10                           | Weight and Gradient Constraint | 97.9     |
| Kheradpisheh et al [48] | Temporal | 784-400-10                           | Weight Constraint              | 97.4     |
| ANN                     | Rate     | 784-800-10                           | None                           | 98.6     |
| STDBP (This work)       | Temporal | 784-340-10                           | None                           | 98.0     |
| STDBP (This work)       | Temporal | 784-400-10                           | None                           | 98.1     |
| STDBP (This work)       | Temporal | 784-800-10                           | None                           | 98.5     |
| STDBP (This work)       | Temporal | 784-1000-10                          | None                           | 98.5     |
| CNN                     | Rate     | 28×28-16C5-P2-32C5<br>-P2-800-128-10 | None                           | 99.5     |
| STDBP (This work)       | Temporal | 28×28-16C5-P2-32C5<br>-P2-800-128-10 | None                           | 99.4     |



<sup>&</sup>quot;Rectified linear postsynaptic potential function for backpropagation in deep spiking neural networks." IEEE Transactions on Neural Networks and Learning Systems (2021).

# 谢谢大家!